

TP: METHODOLOGIE DE LA COMMANDE

HOUSSEYNE NADOUR
JULIEN OIKNINE

Ecole Centrale de Nantes

ECOLE CENTRALE NANTES [Company address]

1 Linéarisation

En posant : $X = \begin{pmatrix} x_1 \\ x_2 \\ x_3 \\ x_4 \end{pmatrix} = \begin{pmatrix} \theta \\ \dot{\theta} \\ p \\ \dot{p} \end{pmatrix}$, et $Y = \begin{pmatrix} \theta \\ p \end{pmatrix}$, on obtient d'après les équations

linéarisées: $\dot{X} = A.X + B.U$ et $Y = C.X + D.U$ tel que : $C = \begin{bmatrix} 1 & 0 & 0 & 0 \\ 0 & 0 & 1 & 0 \end{bmatrix}$ et $D = \begin{bmatrix} 0 \\ 0 \end{bmatrix}$

C'est un système de 4 états, une entrée et deux sorties.

Les pôles du système sont : 0, 0, 3.2833, -3.2833

On remarque que le système a trois pôles instables, d'où l'objectif est de stabiliser le système.

Simulation en boucle ouverte :

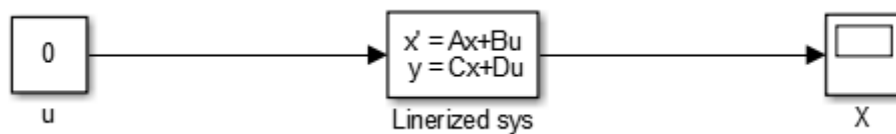


Figure 1: Schéma Simulink de la boucle ouverte

Pour une position initiale non nulle $X_0 = \begin{pmatrix} 0.1 \\ 0 \\ 0.1 \\ 0 \end{pmatrix}$ le système va diverger

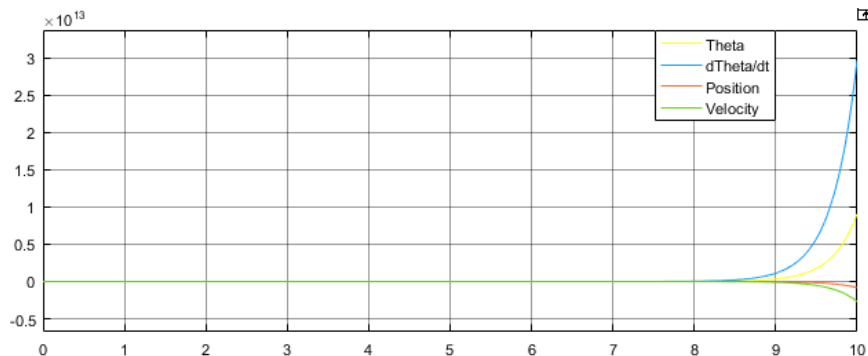


Figure 2: Simulation en boucle ouverte

2. Commande par retour d'état (sans observateur)

2.1 La commandabilité

Pour savoir si on peut stabiliser la barre autour d'une position d'équilibre $\theta=0$, il faut savoir si le système comporte des parties non commandables instables ou non. Pour cela on calcule la Matrice de commandabilité $C = \begin{bmatrix} B & A.B & A^2.B & A^3.B \end{bmatrix}$ et son rang.

Le rang de C est $4=n$, le système est donc complètement commandable (il ne comporte pas de partie non commandable), on peut donc stabiliser la barre autour de la position d'équilibre $\theta=0$ grâce à un retour d'état.

2.2 Calcul de la matrice de retour d'état :

Pour calculer la matrice de retour d'état F, on utilise soit la fonction 'acker' (le système a une seule entrée) soit la fonction 'place',

Pour des pôles désirés $P = \begin{bmatrix} -1+i \\ -1-i \\ -2-2i \\ -2+i \end{bmatrix}$ On trouve : $F = -[152.0633 \ 42.2449 \ 8.1633 \ 12.2449]$

Simulation :

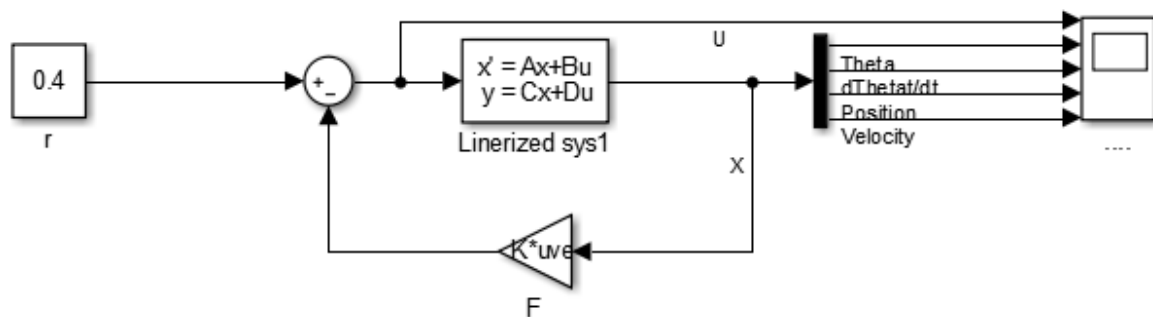


Figure 3: Schéma Simulink du retour d'état

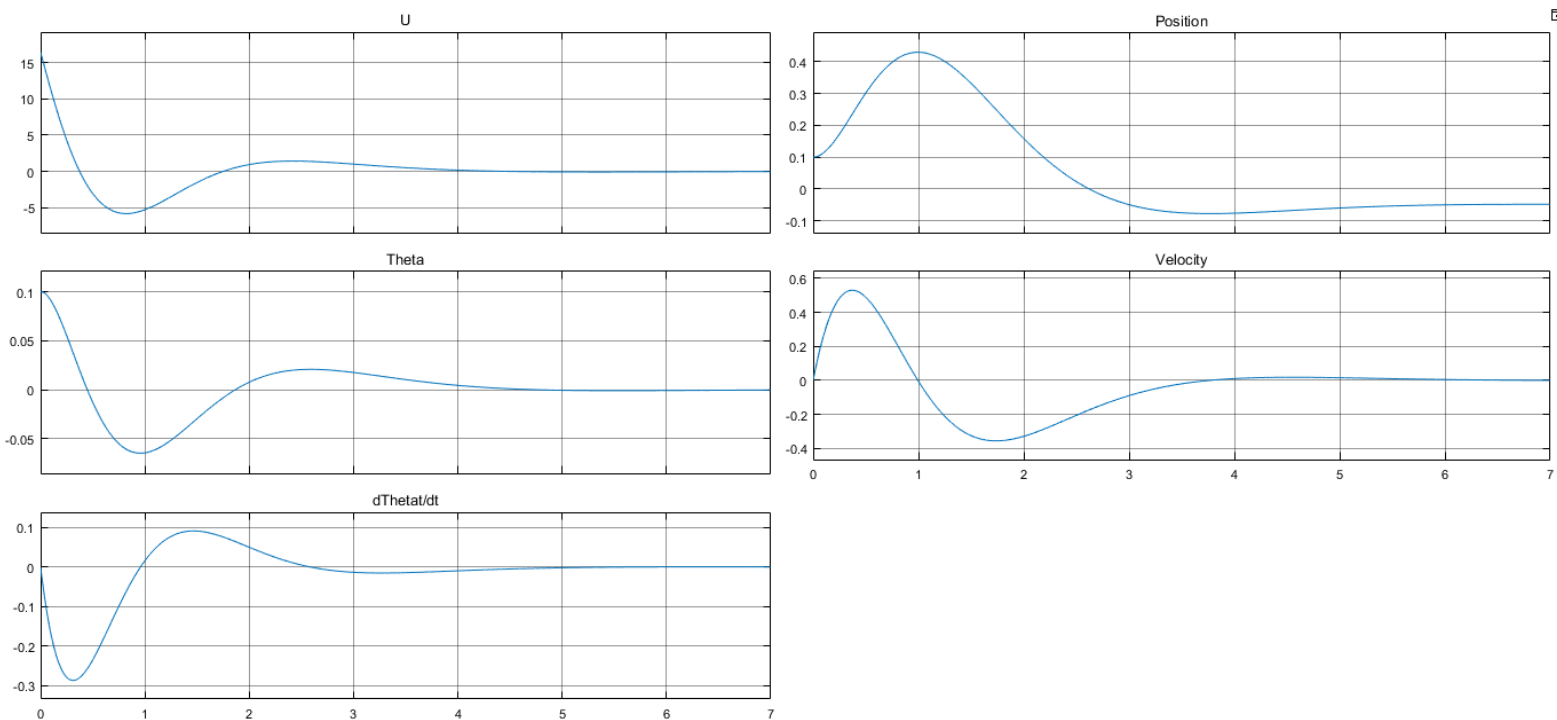


Figure 4: Simulation du Retour d'état

Remarques :

Le retour d'état a assuré la stabilité, par contre on voit que la poursuite n'est pas vérifiée.

2. Commande par retour d'état reconstruit :

2.1) Calcul de la matrice d'observation K :

A) Observabilité :

Le système est observable si et seulement si la matrice d'observabilité

$\vartheta = \begin{bmatrix} C \\ A.C \\ A.C^2 \\ A.C^3 \end{bmatrix}$ est de rang $n=4$, à l'aide de la fonction 'rank' on trouve que $\text{rang}(\vartheta) = 4 = n$.

B) Calcul de la matrice d'observation K :

À l'aide de la fonction place ($K = (\text{acker}(A', C', \text{Poles}))'$) on trouve :

B.a) l'observateur est plus rapide que la commande :

$$K = 10^6 \begin{bmatrix} 0.0201 + 0.0002i & 0.0007 + 0.0005i \\ 1.9959 + 0.0041i & 0.0679 + 0.0521i \\ 0.0008 - 0.0005i & 0.0003 - 0.0002i \\ 0.0745 - 0.0646i & 0.0244 - 0.0201i \end{bmatrix} \text{ pour les pôles suivants : } P_o = \begin{bmatrix} -100 + i \\ -100 - i \\ -200 + 2i \\ -200 - 2i \end{bmatrix}$$

Ce résultat n'est pas réalisable parce que la matrice K contient des parties imaginaires. Mais pour assurer que l'observateur soit plus rapide que la commande, alors il suffit de prendre

$$P_o = 100 * (\text{Pôles de la commande}) = \begin{bmatrix} -100 + 100i \\ -100 - 100i \\ -200 + 200i \\ -200 - 200i \end{bmatrix} \text{ C'est un résultat réalisable.}$$

B.b) l'observateur est aussi rapide que la commande :

$$K = \begin{bmatrix} 2.9998 & -0.9985 \\ 14.7801 & 0.0043 \\ 1.0015 & 3.0002 \\ -0.9757 & 3.9999 \end{bmatrix} \text{ Pour les pôles suivants } P_o = P = \begin{bmatrix} -1 + i \\ -1 - i \\ -2 - 2i \\ -2 + i \end{bmatrix}$$

2) Simulation :

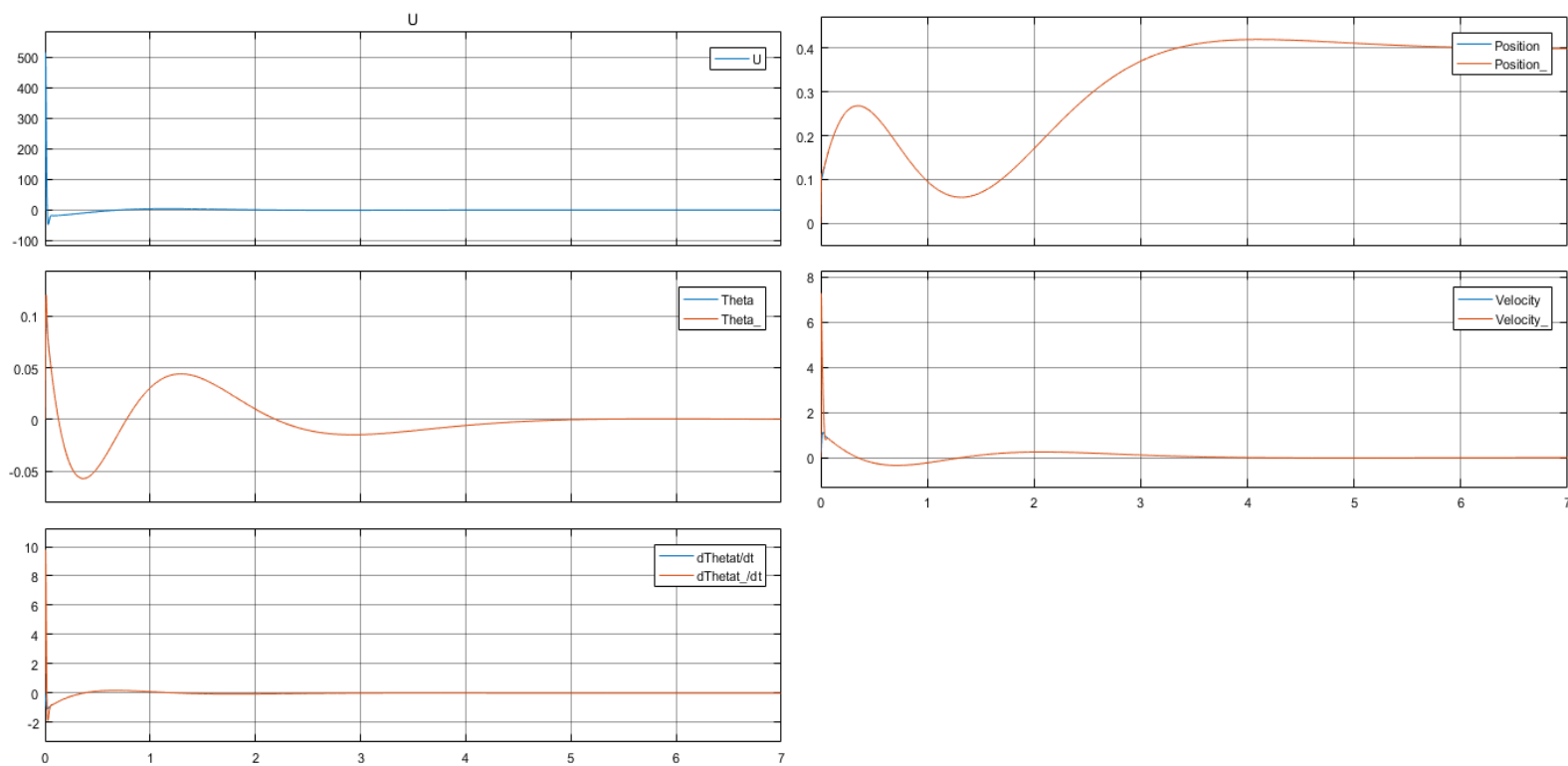


Figure 7: Simulation, retour d'état reconstruit, avec des pôles d'observation 100 fois plus grand que ceux de la commande

B) Pour des pôles de l'observateur aussi rapides que ceux de la commande

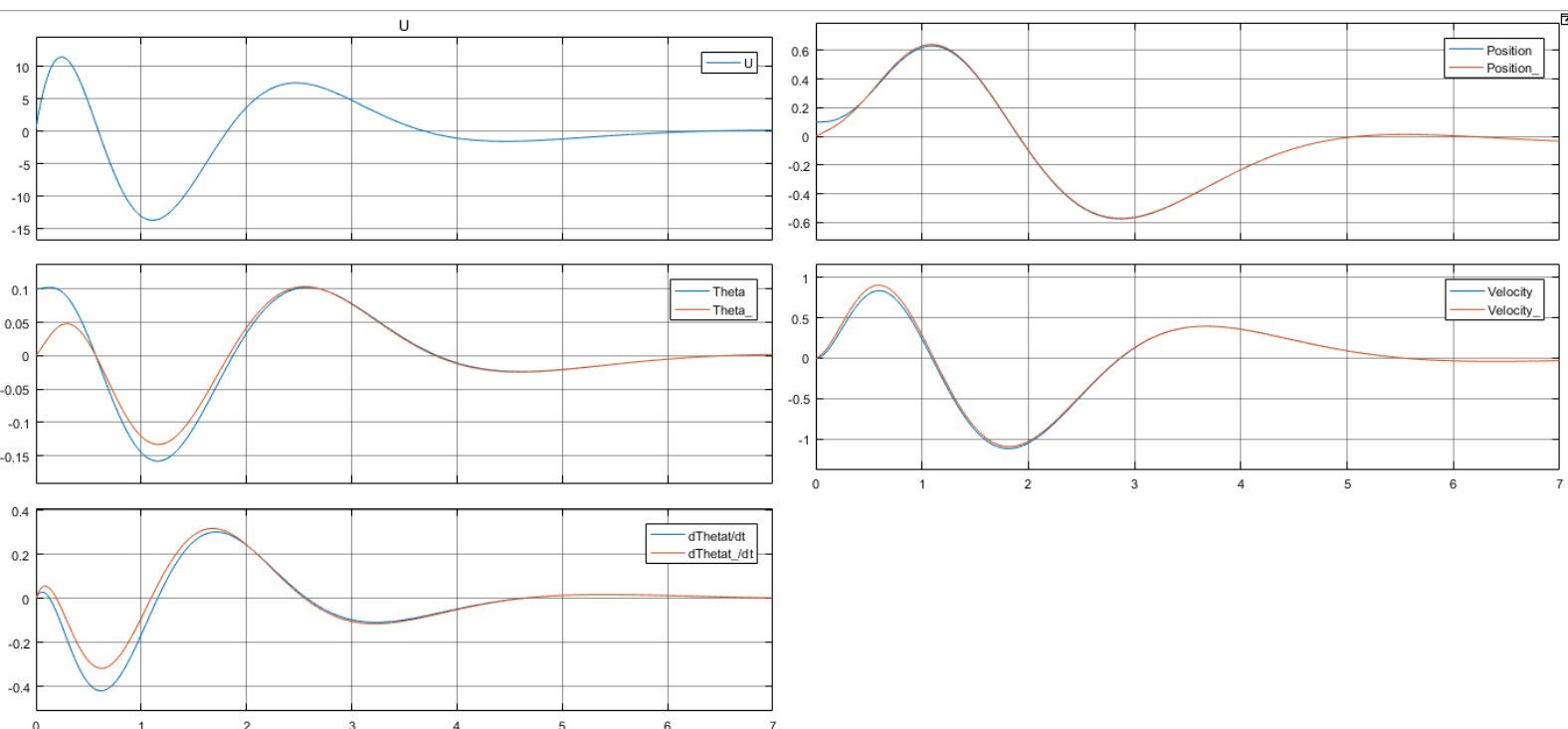


Figure 8: Simulation, retour d'état reconstruit, avec des pôles d'observation sont les mêmes que ceux de la commande

C'est clair que la barre dans le premier cas se stabilise plus rapide que le deuxième cas, parce que l'observation est presque instantanée par rapport à la commande, contrairement au deuxième cas, le retard de l'observation est important par rapport à la commande d'où la lenteur du système dans le deuxième cas.

Le système peut diverger si l'observation est plus lente que la commande.

Animation :

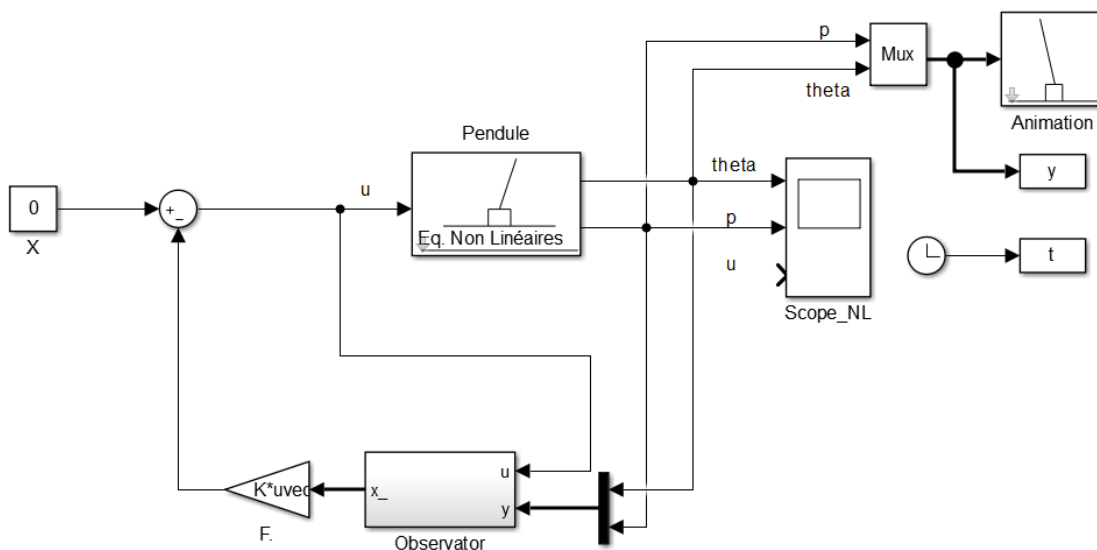
⇒ **Note :** La loi de la commande par retour d'états reconstruit, appliqué sur le système linéarisé autour d'un angle nul, s'applique correctement sur le système non linéaire (réel), tant que le système est toujours autour du point d'équilibre pour laquelle on a fait la linéarisation (angle nul), sinon le comportement du système va être complètement dissimilaire au celui du système linéarisé, en effet si on

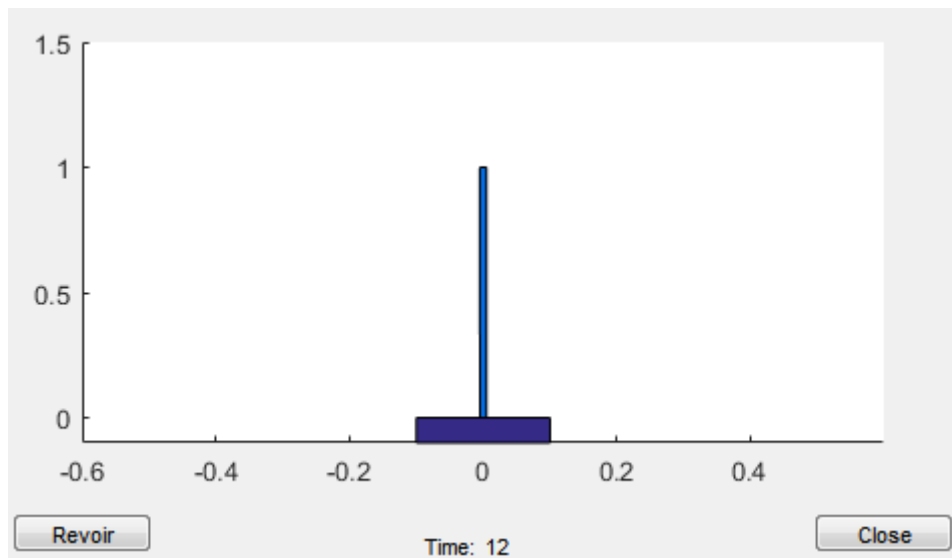
prend une condition initiale $x_0 = \begin{pmatrix} 0.4 \text{ rad} = 22.8^\circ \\ 0 \\ 0 \\ 0 \end{pmatrix}$, alors le système

diverge. Masi si on prend $x_0 = \begin{pmatrix} 0.35 \text{ rad} = 20^\circ \\ 0 \\ 0 \\ 0 \end{pmatrix}$ alors le system

converge, que signifie qu'on peut prend $\theta = \mp 20^\circ$ comme la plus large région d'attraction assurée pour cette loi de commande.

Pour l'animation on prend une condition initiale $\theta = 0.1 \text{ rad}$:





5) La poursuite et la robustesse :

On veut dans cette partie asservir la position du chariot.
pour cela on propose deux méthodes :

1) En introduisant un précompensateur :

le précompensateur sert à rendre le gain statique du système égale a 1, alors aura besoin de calculer les fonctions de transfert entre la consigne et la position :

$$G(s) = C \cdot (s.I - A_{bf})^{-1} \cdot B \text{ tel que } A_{bf} = A - B \cdot F$$

On trouve à l'aide du Matlab que :

$$G(s) = \begin{pmatrix} \frac{-0.2 s^6 - 1.2 s^5 - 3.6 s^4 - 4.8 s^3 - 3.2 s^2 + 2.132e - 14 s + 7.105e - 15}{s^8 + 12 s^7 + 72 s^6 + 264 s^5 + 644 s^4 + 1056 s^3 + 1152 s^2 + 768 s + 256} \\ \frac{0.2 s^6 + 1.2 s^5 + 1.64 s^4 - 6.96 s^3 - 32.08 s^2 - 47.04 s - 31.36}{s^8 + 12 s^7 + 72 s^6 + 264 s^5 + 644 s^4 + 1056 s^3 + 1152 s^2 + 768 s + 256} \end{pmatrix}$$

On s'intéresse au deuxième ligne qui est la fonction de transfert entre la consigne et la position, le gain statique de cette fonction est $G(0) = -31.36/256$, on multiplie la consigne par $K = 1/G(0)$.

Simulation :

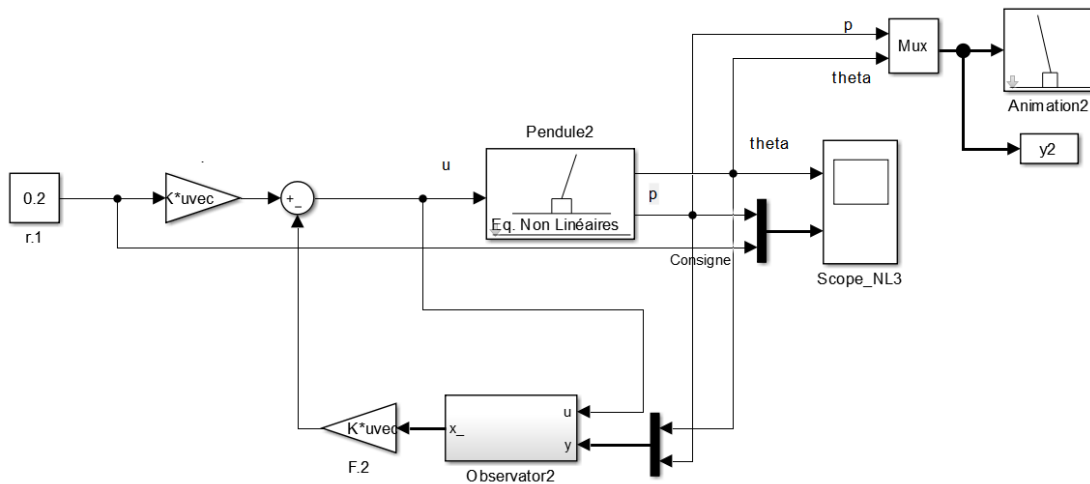


Figure 9: Schéma Simulink pour retour d'état reconstruit, avec précompensateur statique.

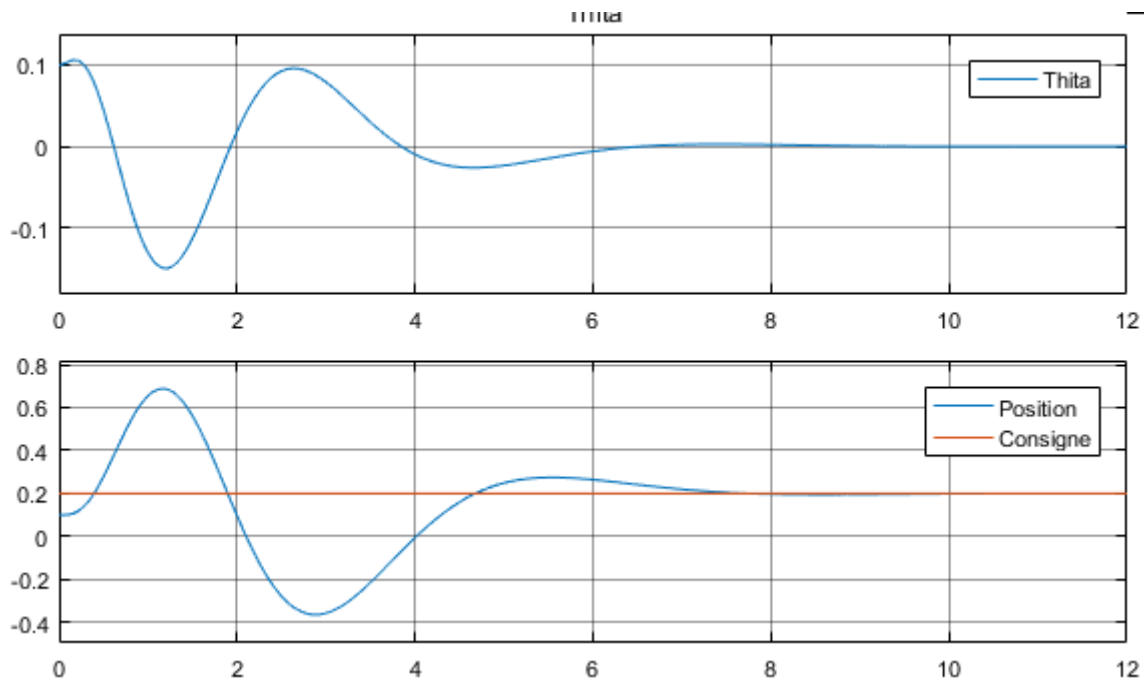


Figure 10: Simulation pour retour d'état reconstruit, avec précompensateur statique.

La poursuite statique est assurée, mais cette méthode n'est pas pratique, en effet, la poursuite dynamique n'est pas assurée, en plus cette commande n'a pas de performances en régulation (ni statique ni dynamique), alors on switch a une autre méthode de commande.

2) Changement de variable (ou bien changement de repere :

La régulation retour d'état $U = -F.X + v$, assure la convergence, en effet :

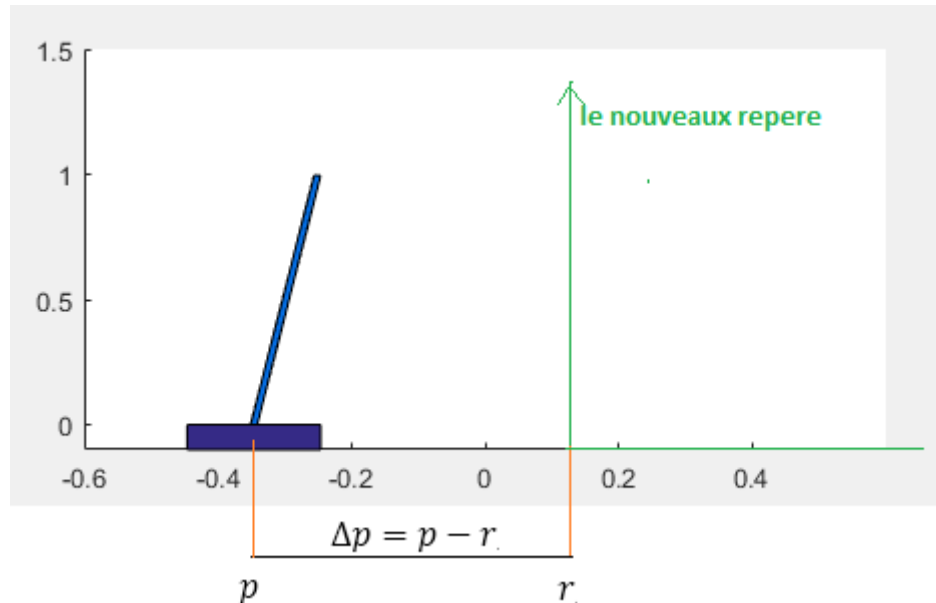
$$X(t) = X_0 \cdot e^{-(A-B.F)t} + e^{-(A-B.F)t} \int e^{-(A-B.F)t} \cdot v(t) dt$$

Si : $v(t) = 0$, alors x est obligé de converger vers zéro.

L'idée est de changer les variable d'état, alors au lieu de penser à commander X , on pense à commander $\Delta X = X - X_d$

tel que $X_d = \begin{pmatrix} 0 \\ 0 \\ r \\ 0 \end{pmatrix}$, alors: $\Delta X = \begin{pmatrix} \theta \\ \dot{\theta} \\ \Delta p \\ \dot{p} \end{pmatrix}$ et $\Delta Y = \begin{pmatrix} \theta \\ \Delta p \end{pmatrix}$ tel que $\Delta p = p - r$, et r

représente la position désirée (consigne statique, on va perdre l'asservissement dynamique pour avoir un calcul simple), et ça tout en gardant $v = 0$.



Puisque la linéarisation a été faite par rapport θ seulement, alors les matrices de la linéarisation pour ΔX ne sera pas changer :

$$\dot{\Delta X} = A \cdot \Delta X + B \cdot \Delta U \text{ et } \Delta Y = C \cdot \Delta X$$

On va garder la même forme de la loi de commande par retour d'état reconstruit :

$$\Delta U = -F \cdot \Delta X, \text{ qui va assurer que } \lim_{t \rightarrow \infty} \Delta X = 0$$

On substitue la valeur de ΔX et de U dans l'équation, on obtient :

$$\dot{X} - \dot{X}_d = A \cdot X - A X_d - B \cdot F \cdot \Delta X$$

Puisque r est statique alors $\dot{X}_d = 0$, en plus $A X_d = 0$, on obtient :

$$\dot{X} = A \cdot X - B \cdot F \cdot \Delta X$$

Donc il suffit de prendre $u = -F \cdot \Delta X$ au lieu de $u = -F \cdot X + v$ pour assurer que X tend vers X_d .

Simulation :

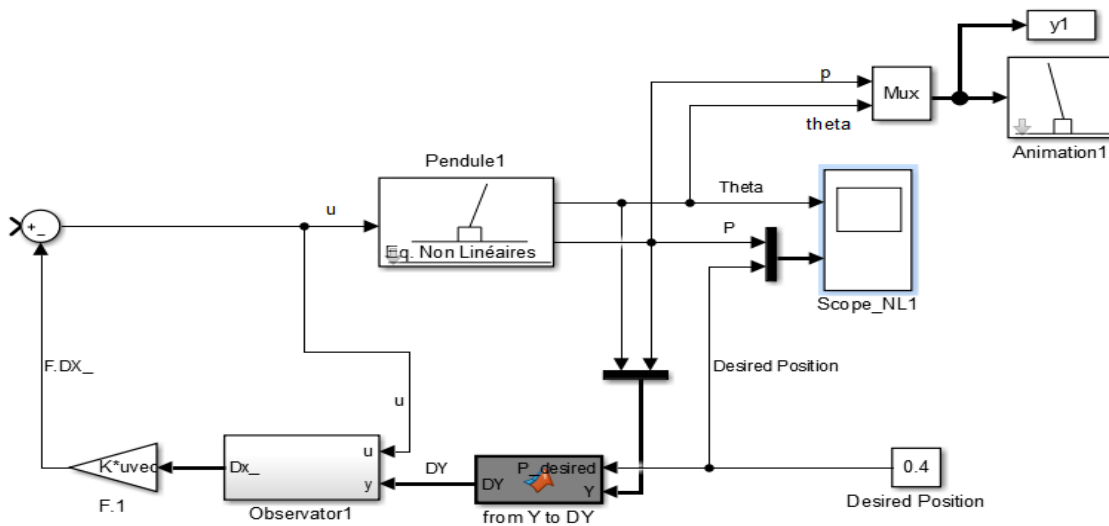


Figure 11: Schéma Simulink pour un retour d'état reconstruit, avec changement de variable

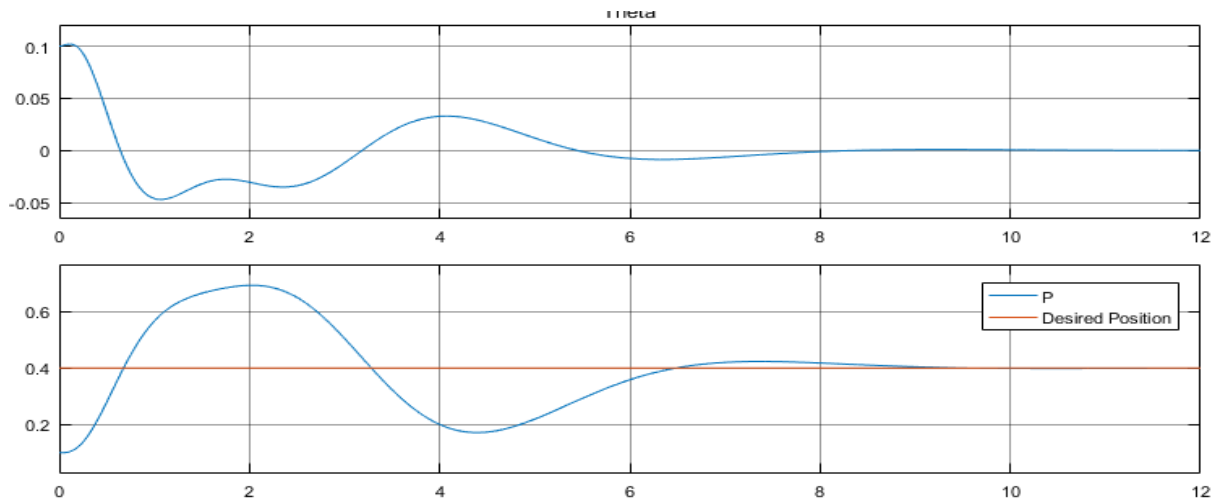


Figure 12: Simulation pour un retour d'état reconstruit, avec changement de variable

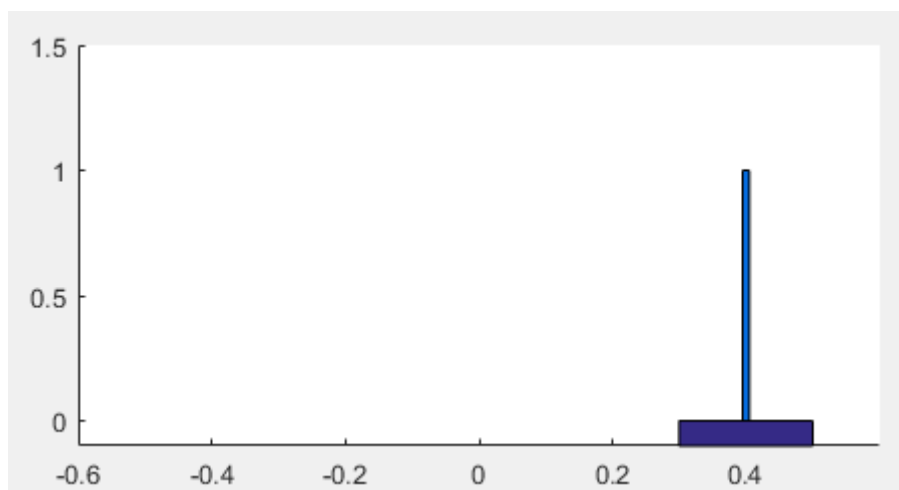


Figure 13: Animation qui affiche que la barre converge vers la consigne

Test de la robustesse :

On va prendre une condition initiale $\theta = 0.3 \text{ rad}$ pour assurer qu'il y a des erreurs de modélisation, et on injecte une perturbation de mesure à haute

